

Л-943



ОБЪЕДИНЕННЫЙ ИНСТИТУТ ЯДЕРНЫХ ИССЛЕДОВАНИЙ  
ЛАБОРАТОРИЯ ТЕОРЕТИЧЕСКОЙ ФИЗИКИ

4 - 8817

ЛУКЬЯНОВ Валерий Константинович

ВОПРОСЫ ВЗАИМОДЕЙСТВИЯ ЭЛЕКТРОНОВ  
И ЯДЕРНЫХ ЧАСТИЦ С ЯДРАМИ

(Специальность 01.04.16 - физика атомного ядра  
и космических лучей)

Автореферат диссертации на соискание ученой степени  
доктора физико-математических наук

(Диссертация написана на русском языке)

Дубна 1975

Работа выполнена в Лаборатории теоретической физики  
Объединенного института ядерных исследований.

Официальные оппоненты:

доктор физико-математических наук, профессор А.И.БАЗЬ,  
доктор физико-математических наук А.Б.КУРЕЛИН,  
член-корреспондент АН УССР,  
доктор физико-математических наук, профессор А.Г.СИТЕНКО.

Ведущее научно-исследовательское учреждение:  
Харьковский физико-технический институт АН УССР.

Автореферат разослан " " 1975 года

Задита диссертация состоится " " 1975 года  
на заседании Ученого совета Лаборатории теоретической физики  
Объединенного института ядерных исследований, г.Дубна,  
Московской области.

С диссертацией можно ознакомиться в библиотеке ОИИ.

Ученый секретарь Совета  
кандидат физико-математических наук

Р.А.АСАНОВ

4 - 8817

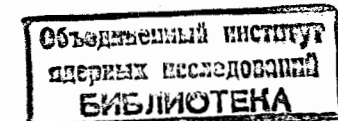
ЛУКЬЯНОВ Валерий Константинович

ВОПРОСЫ ВЗАИМОДЕЙСТВИЯ ЭЛЕКТРОНОВ  
И ЯДЕРНЫХ ЧАСТИЦ С ЯДРАМИ

(Специальность 01.04.16 - физика атомного ядра  
и космических лучей)

Автореферат диссертации на соискание ученой степени  
доктора физико-математических наук

(Диссертация написана на русском языке)



В современной ядерной физике учет "высших порядков" стал практически необходим в большинстве задач рассеяния и реакций ("Вызов точности" - Д.Бромли<sup>/1/</sup>). Приходится совершенствовать старые теоретические подходы и прежде всего те, которые описывают процессы, являющиеся главным источником информации о структуре ядра<sup>/2/</sup>, и среди них рассеяние электронов, прямые процессы рассеяния и реакций с ядерными частицами. Так, новые требования привели в задачах рассеяния электронов к переходу от борновского приближения к более изощренным подходам, учитывающим кулоновские эффекты рассеяния<sup>/3/</sup>, в прямых реакциях - от метода искаженных волн (МИВ)<sup>/4/</sup> к методам сильной связи каналов<sup>/5/</sup>, в реакциях при высоких энергиях - от импульсного приближения к методам многократного рассеяния Глаубера-Ситенко<sup>/6/</sup> и т.д.

Эффекты высших порядков возникают, когда система из частицы непрерывного спектра + ядро проявляет себя как сложная система. Тогда к прямым переходам  $a \rightarrow b$  из начального в конечное состояние примешиваются многоступенчатые  $a \rightarrow \{c, d, \dots\} \rightarrow b$ , которые идут через промежуточные состояния  $c, d, \dots$ . В потенциальном подходе эти эффекты обычно связывают с проявлением остаточных сил на фоне среднего поля. Их учет, особенно в условиях сильного ядерного взаимодействия, - одно из важных направлений развития теории<sup>/7,8/</sup>. Альтернативный подход основан на диаграммной технике<sup>/9/</sup>, где вместо потенциалов используются амплитуды промежуточных процессов. Так, здесь удалось сформулировать "периферийную модель"<sup>/10/</sup>, которая позволяет проводить практический анализ ряда реакций срыва и подхвата нуклонов.

В диссертации исследуются эффекты высших порядков, которые отбрасываются в традиционных теориях взаимодействия электронов и

и ядерных частиц с ядрами. Она состоит из Введения, трех глав, Заключения и Приложения.

В Введении сформулированы основные проблемы, рассматриваемые в диссертации. Рассеяние электронов занимает здесь особое место. Для них характерно относительно слабое и известное (электромагнитное) взаимодействие с ядром. Появляется возможность разработать теорию с точными и наглядными методами, – не частный пример в ядерной физике. Помимо чисто теоретического интереса (получения, например, более строгих, чем в <sup>II</sup>/, амплитуд рассеяния), в силу простоты конечных выражений это дает также новые возможности для анализа большого экспериментального материала и получения важной для разработки теории ядра информации о его структуре.

Процессы прямого неупругого рассеяния легких  $n, p, d$  – ядерных частиц ядрами с возбуждением коллективных состояний в последние годы начали исследоваться с помощью более точного, чем МИВ, метода сильной связи каналов <sup>5/</sup>. Однако для его обобщения на реакции с тяжелыми ионами и на более высокие энергии необходимо учитывать специфические условия квазиклассики. Это было сделано, например, в дифракционной модели рассеяния, где  $S$ -матрица постулируется в  $\ell$ -пространстве <sup>12/</sup>, и результаты успешно применены к рассеянию сильно поглощающихся альфа-частиц при энергиях больше 20 Мэв. Однако для легких частиц при значительных энергиях поглощение не столь велико, – здесь используется другая, оптическая дифракционная модель, в которой, однако, теорию удавалось построить лишь в первом и втором порядках по потенциальному переходу <sup>13/</sup>? То есть, опять возникает задача развить методы учета всех порядков по  $U_{int}$ . Что касается тяжелых ионов, то здесь

образец точности – теория однократного <sup>14/</sup> и многократного <sup>15/</sup> кулоновского возбуждения, которая справедлива при  $E \ll U_B = \sum z_i e^2 / R$ . Однако сейчас наибольший интерес представляет область окологарьерных энергий  $E \sim U_B$ , где в игру вступают ядерные силы. Возникает интерференционный эффект <sup>16/</sup>, который может дать сведения о ядерных потенциалах взаимодействия тяжелых ионов. Здесь задача – дать его теорию и установить в нем роль эффектов "высших порядков", которые отнюдь не малы.

Третья проблема – это учет эффектов связи упругих и неупругих каналов в прямых реакциях одонуклонных передач. Здесь явные трудности традиционного МИВ возникли при анализе реакций на деформированных ядрах. Проблема состоит в принципиальной необходимости учета высших (и не малых, как считалось в <sup>17/</sup>) поправок, связанных с виртуальным возбуждением низколежащих колебательных и вращательных состояний ядер, – эффекты многоступенчатого срыва. Это дает основу для правильного понимания механизма реакции и модифицирует теоретический аппарат анализа соответствующих экспериментов.

В первой главе развиты теоретические методы построения и расчета амплитуд упругого и неупругого рассеяния быстрых электронов в поле ядерного заряда, в которых учтены эффекты высших порядков по потенциальному кулоновскому взаимодействия, играющие важную роль при рассеянии на средне-тяжелых ядрах в области средних и больших переданных импульсов  $q$ .

В этой связи в § I разработаны вопросы квазиклассического рассеяния при больших энергиях ( $kR \gg 1, E/U \gg 1$ ) и получены общие выражения для амплитуд при больших и малых углах рассеяния, которые обобщают и уточняют известные формулы Ширфа <sup>II/</sup> и Глау-

бера<sup>/6/</sup> за счет появления предэкспоненциальных множителей  
 $\psi^{(\pm)}$  /18,19/

$$f(\vartheta < 1/kR) = -\frac{1}{4\pi} \int d\vec{r} \psi_f^{(\pm)*} e^{ik_i \vec{r}} \quad (1)$$

$$f(\vartheta > 1/kR) = -\frac{1}{4\pi} \int d\vec{r} \psi_f^{(\pm)*} V(r) \psi_i^{(\pm)}, \quad (2)$$

где

$$\psi^{(\pm)} = U^{(\pm)} e^{ik_i \vec{r} + i\phi^{(\pm)}}; \quad \phi^{(\pm)} = \frac{1}{2k} \int_0^\infty V(r+k_s) ds \quad (3)$$

есть квазиклассическая волновая функция при  $E/U \gg 1$ . Такая точность в (1)–(2) особенно важна в задачах рассеяния электронов, где потенциал известен точно, а не параметризуется, как в сильных взаимодействиях.

Найдены явные квазиклассические решения (3) уравнения Дирака<sup>/20/</sup> и после их подстановки в (2) получен зарядовый форм-фактор ядра в наиболее интересной области  $q > k/R$  переданных импульсов<sup>/21/</sup>

$$F_{LM} = q^2 \int d\vec{r} \frac{g(\vec{r})}{g_{\text{зп}}(\vec{r})} e^{iq\vec{r} + i\phi(\vec{r})} \rho_L(r) Y_{LM}^*(\vec{r}), \quad (4)$$

где  $g$  и  $\phi$  – результирующие предэкспоненциальная и фазовая функции, известные в явном виде<sup>/22/</sup>, а  $\rho_L(r)$  – распределение в ядре плотности заряда (рпз) и перехода (рпп).

Для вычисления (4) в явном виде предложен и разработан метод полюсного приближения как для типичных феноменологических рпз в виде ферми<sup>/22/</sup> и симметризованной ферми-ступеньки<sup>/23/</sup> и их производных – для ядерных рпп<sup>/24/</sup>, так и для произвольного вида

рпз<sup>/25/</sup> и рпп<sup>/21/</sup> с радиальными вариациями во внутриддерной области. Метод основан на использовании того факта, что эти функции

$$\rho_F = \rho^{(0)} \left(1 + \exp \frac{r-R}{b}\right)^{-1} \quad (5)$$

$$\rho_{SF} = \rho_F(r, R) + \rho_F(-r, R) - 1 = \rho^{(0)} \frac{\sinh R/b}{\cosh R/b + \cosh b} \quad (6)$$

имеют простые полюса в точках  $r_n = R \pm i\pi b$  ( $2n+1$ ),  $n=0,1,2\dots$   
Показано, что тогда, например, форм-фактор упругого рассеяния есть  
/22,23/  
сумма вычетов в этих полюсах, которая приводится к виду

$$F_0^{(F)}(q) = -\frac{4\pi^2 b R \rho^{(0)}}{q \sinh bq} D [\cos(qR+\Phi) - \frac{\pi b}{q} \sin(qR+\Phi) \operatorname{ctg} \pi b q], \quad (7)$$

где  $D$  и  $\Phi$  известные функции. Для  $\rho_{SF}$  это есть точный результат, для  $\rho_F$  – при условии малости  $z/(137kR) \ll 1$ . Частный случай  $D=1$ ,  $\Phi=0$  дает борновское приближение. Аналогичным образом получается явное выражение для неупругого форм-фактора  $F_L^{(F)}(q)$  в модели Тасси, где  $\rho_L \sim d\rho_F/dR$  /24/.

Обобщение полюсного метода на случай произвольного вида рпз и рпп дано в §§ 2 и 3. Показано, что с этой целью  $\rho_L$  можно представить в виде ряда производных<sup>/21,25/</sup>

$$\rho_L(r) = \sum_n \alpha_n^L \frac{\partial^n \rho_F(r, R)}{\partial R^n}, \quad (8)$$

где коэффициенты  $\alpha_n^L$  являются параметрами подгонки под заданную функцию  $\rho_L$ . Тогда подстановкой (8) в (4) находим

$$F_L(q) = \sum_n \alpha_n^L \frac{\partial^n}{\partial R^n} F_L^{(F)}(q, R), \quad (9)$$

который также известен в явном виде, поскольку  $F_L^{(F)}$  известны. Здесь прослеживается аналогия с современной дифракционной моделью /12/, где полюсный метод в  $\ell$ -пространстве применялся для получения явного вида амплитуд упругого и неупругого рассеяния альфа-частиц.

Далее, сравнениями с точными численными решениями уравнения Дирака продемонстрирована высокая эффективность и точность данного подхода. В последние годы он нашел широкое применение в анализе соответствующих экспериментальных данных и получил название метода высокознергетического приближения (ВЭП) /26/. В § 3 получены также общие выражения для ВЭП-формфакторов неупругого рассеяния на ядрах, описываемых как в рамках макро-, так и микро-моделей ядра /21/.

На этой основе в § 2 и 3 проведено сравнение с экспериментальными данными по упругому и неупругому рассеянию электронов и получено следующее.

Феноменологический анализ упругих формфакторов большой группы ядер в рамках "универсальной" симметризованной ферми-плотности (6) выявил область  $Q > Q_0 = 7,7 A^{1/3} \phi^{-1}$  ( $\pm 20\%$ ), где формфактор наиболее чувствителен к деталям резонанса внутри и возле границы ядра /23,27/. Эту область естественно определить как область больших переданных импульсов, она наиболее информативна в задаче выбора между моделями структуры основных состояний ядер. В связи с этим дан пример модельного расчета ВЭП-формфакторов в рамках альфа-кластерной модели Бринка для  $4N$ -ядер. Сравнением при больших  $Q$  удалось установить /28,29/, что I) модель нуждается в модификации – переходу к пробным функциям с реалистической экспоненциальной асимптотикой, – только в этом случае удается

объяснить особенности поведения формфакторов при  $Q > Q_0$ ; 2) на основе такого анализа сделаны выводы об альфа-кластерной структуре ряда ядер, – например, что в основном состоянии  $^{12}\text{C}$  – слабо, а  $^{16}_0$  – совсем не кластеризованы, а в возбужденных кластеризация заметно усиливается и сами кластеры приближаются по своим размерам к свободной альфа-частице.

Далее, в §§ 2,3 выдвинуто предположение и разработан метод модельно-независимого (МН)-анализа упругого и неупругого рассеяния электронов на ядрах /21,25/. С этой целью предложено использовать простое аналитическое выражение (9) для формфактора, в котором коэффициенты  $\alpha_n^L$  следует теперь рассматривать как параметры подгонки под эксперимент. Тогда найденный набор  $\{\alpha_n^L\}$  подставляется в (8) и этим восстанавливаются "экспериментальные" резонансные и релаксационные пики. Это направление в настоящее время получило интенсивное развитие в связи с появлением новых экспериментальных данных при больших  $Q$ , которые не укладываются в схемы анализа с традиционными феноменологическими резонансами и релаксациями. В связи с этим в §§ 2,3 исследуются практические возможности МН-анализа для получения безмодельных "экспериментальных" резонансов и релаксаций /19/. На примере ядер  $^{40,48}\text{Ca}$  продемонстрирована неоднозначность МН-анализа и установлены ее причины, связанные с некорректной математической постановкой такой задачи. Показано, что одним из способов снижения неоднозначности является одновременный анализ упругого и неупругого рассеяния. Впервые /21/ проведен МН-анализ неупругого формфактора ядра  $^{58}\text{Ni}$  и показано, что это дает новую (по сравнению с феноменологической моделью Тасси) /30/ информацию о детальной картине хода релаксации в области поверхности ядра, наиболее активно участвующей в неупругом рассеянии.

Вторая глава диссертации посвящена теоретическому исследованию упругого и неупругого рассеяния ядерных частиц и тяжелых ионов ядрами в условиях, когда взаимодействие оказывается сильным и возникают эффекты многоступенчатого возбуждения. В § 4 приведены основные методы выделения потенциала остаточных взаимодействий, приводящих к включению наиболее мощных (при определенных условиях) каналов неупругого рассеяния с возбуждением низколежащих вращательных и колебательных состояний ядер. В § 5 развита квантовая и квазиклассическая теория первого порядка по потенциалу кулоновского и ядерного перехода, когда частица движется с окробарьерной энергией  $E \sim U_B$  /31/. Это наиболее простой случай, когда четко выявляется интерференционная картина в сечениях возбуждения и дифференциальных сечениях. Обращается внимание на первое наиболее интересное следствие включения ядерных сил при  $E \sim U_B$ . Это возбуждение в ядрах  $0^+ \rightarrow 0^+$  переходов, которые в первом порядке вызываются только ядерным полем без примесей кулона (чисто ядерное возбуждение).

Однако в реальных ситуациях, когда большой вклад в сечение дают высшие порядки по  $U_{int}$ , важно выяснить, не "замазывается" ли при этом четкая интерференционная картина. Эти вопросы рассмотрены в §§ 6, 7. Вначале (§ 6) рассматривается многократное возбуждение деформированных ядер при  $E \sim U_B$  /32/. Условие  $E \gg E_{if}^{rot}$ , где  $E_{if}^{rot}$  – характерная энергия перехода внутри ротационной полосы, позволяет развить теорию в приближении удара и получить для амплитуды вероятности возбуждения четного деформированного ядра на уровень  $J^+$  замкнутое выражение /32/:

$$a_J = \sqrt{2J+1} e^{i\frac{2}{3}Q_{ef}} \int_0^1 dx P_J(x) e^{-i2Q_{ef}x^2}, \quad (10)$$

где, в отличие от теории многократного кулоновского возбуждения /15/, в  $Q_{ef}$  входит вместе с кулоновским еще и ядерный орбитальный интеграл по траектории. Расчеты (10) показали, что сечения имеют интерференционный характер, – например, в функциях возбуждения при  $E \sim U_B$  возникает "бамп" в упругом и минимум в  $2^+$ -неупругом рассеянии. Аналогичная картина имеет место и в районе предельного кулоновского угла  $\vartheta \sim \vartheta_c$  в угловых распределениях. Удалось объяснить наблюдаемое на эксперименте поведение отношения вероятностей  $|a_{4+}|^2/|a_{2+}|^2$  для рассеяния  $\alpha + Nd$ .

Наибольший интерес к интерференционным эффектам возник в последние годы в связи с экспериментами на средних ядрах /16/. Рассмотрение специфических особенностей этих реакций дано в § 7. Теперь, из-за того, что в сферических ядрах  $E_{if}^{vib}$  на один-два порядка превышает энергию возбуждения в деформированных, – приходится отказываться от приближения удара и строить теорию связи каналов в условиях квазиклассики, решая соответствующую систему связанных временных волновых уравнений /33/. Методические расчеты дают представление о характере зависимости сечений от основных структурных и геометрических параметров задачи. Например, интерференционные эффекты сильно зависят от параметров радиуса и диффузности ядерного взаимодействия. Физические приложения сделаны для экспериментов по  $2^+$ -неупругому рассеянию ионов  ${}^6Li$  и  ${}^{16}O$  на ядрах  ${}^{58}Ni$  и  ${}^{110}Sn$ . Теория довольно хорошо объясняет эксперимент, удается извлечь сведения о потенциалах периферического ядерного взаимодействия тяжелых ионов с ядром. В частности, оказалось, что в реакциях с  ${}^6Li$  параметр диффузности оказывается примерно в 1,5–2 раза больше, чем для  ${}^{16}O$ , что подтверждает известный факт о его рыхлой структуре.

В § 8 в приближении удара построена теория неупругого рассеяния быстрых ядерных частиц с учетом всех высших порядков по потенциальному кулоновскому и ядерного возбуждения<sup>/34,35/</sup>, тем самым обобщен известный подход Дроздова-Инопина<sup>/13/</sup>, где  $U_{int}$  учитывалось в первом порядке. За основу рассмотрения нами берется ВЭП-амплитуда упругого рассеяния (I), куда подставляется обобщенный оптический потенциал  $U = U_0(r) + U_{int}(\vec{\beta}_3)$ , где  $\vec{\beta}_3$  - колективные переменные ядра. Амплитуда неупругого рассеяния строится в приближении удара ( $E \gg E_{if}$ ):  $f_{inel}(\vartheta) = \langle f/f^{el}(\vartheta) \rangle / i$ , где  $\langle i, f \rangle$  - функции ядерных состояний. Специфика задачи ( $kR \gg 1$ ) позволяет использовать для вычисления амплитуды метод стационарной фазы. Тогда ответ получается в явном виде<sup>/34/</sup>:

$$f_{inel}(\vartheta) = f_{(+)}^{el}(\vartheta) F_{(+)}(\vartheta) + f_{(-)}^{el}(\vartheta) F_{(-)}(\vartheta), \quad (II)$$

где индексы (+) отмечают две точки стационарности, соответствующие притягивающей (ядерной (-)) и отталкивающей (кулоновской (+)) части среднего потенциала  $U_0$ , а  $f_{(+)}^{el}$  и  $F_{(+)}$ , соответственно амплитуды упругого рассеяния и вероятностей перехода. В этих последних взаимодействие стоит в показателе экспоненты, поэтому вклад в сечение дают, вообще говоря, все порядки по  $U_{int}$ , и поэтому можно рассматривать на основе (II) возбуждение любого многофононного (-ротонного) уровня ядра. Ограничение в  $F_{(\pm)}$  линейными членами по  $U_{int}$  приводит к известным результатам<sup>/13/</sup>. Далее в § 8 развит метод нахождения точек стационарности и вычисления сечения упругого и неупругого рассеяния внутри и вне области классических углов рассеяния<sup>/35/</sup>. Указаны области применимости результатов.

Третья глава диссертации посвящена рассмотрению реакций

однонуклонных передач. Сформулирована общая идея<sup>/36/</sup>, состоящая в том, что в их механизме существенную роль играют процессы виртуального возбуждения низколежащих ядерных состояний коллективной природы, то есть реакция идет как многоступенчатая с предварительным и последующим возбуждением этих состояний.

Чтобы выявить основные качественные черты этого явления, вначале (§ 10) на примере реакции  $A(d\rho)B$  рассмотрение ведется в рамках адиабатической теории возмущений по внутреннему параметру задачи - эффективной деформации ядра  $\Delta = \sum_m \xi_m Y_m$ , где  $\xi_m$  - ядерные коллективные переменные. Это приводит к тому, что в амплитуду реакции вместо радиальных функций центрального поля относительного движения частиц в каналах реакции входят функции<sup>/37/</sup>

$$\Psi_\ell(r, R + \Delta R) = e^{\Delta R \partial/\partial R} \Psi_\ell(r, R), \quad (III)$$

где оператор  $\exp(\Delta R \partial/\partial R)$  генерирует промежуточные виртуальные переходы в ядре на уровни коллективной природы<sup>/12/</sup>. В результате дифференциальное сечение передачи нуклона принимает следующий схематический вид:

$$\frac{d\sigma}{d\Omega} \Rightarrow |\delta_{1,L=L_1} \beta_1^{L_1}(\vartheta) + \delta_{2,L=L_2+1} \langle f/fm_T \rangle \beta_2^{L_2}(\vartheta) + \dots|^2. \quad (IV)$$

$\beta_n$  - одиночественная компонента наблюдаемого состояния нечетного ядра  $B$  ( $\beta_1^2 = S$  - фактор),  $\delta_n$  - компонента типа частица+фонон (ротон) и т.д.). Первый член ряда (IV) соответствует одноступенчатому переходу (обычный МИВ), второй - двухступенчатому и т.д.  $\beta_n$  есть кинематические части амплитуды реакции, для вычисления которых, в общем случае, надо решать систему связанных уравнений на движение частиц  $d$  и  $p$  в соответствующих каналах.

В рамках же адиабатической теории возмущений они выражаются через стандартные величины обычного МИВ<sup>38/</sup>.

Таким образом, видно, что традиционный МИВ соответствует лишь грубому одноступенчатому приближению, когда в рассмотрение реакции включаются только два ядерных состояния – основное – в исходном, и наблюдаемое – в конечном ядре. Эффекты же многосту- пенчатого срыва определяются как амплитудой возбуждения в ядре кулоновского и ядерного перехода  $|\langle f | m_I | i \rangle|^2$ , так и величиной соответствующего коэффициента  $\beta_n$ . Далее, ха- рактерно, что теперь переданный момент  $L$ , вообще говоря, не совпадает с моментом переданного нуклона на орбите  $\ell$ , как этого требует одноступенчатый механизм. Если  $\beta_n \approx 0$ , то одноступен- чатая передача запрещена и реакция идет только за счет переходов высшего порядка. Такие запреты действительно наблюдаются на эксперименте, и соответствующие сечения объясняются исключительно в рамках многосту- пенчатого механизма. Из (I3) также видно, что анализ реакций двухсту- пенчатого типа позволяет найти наряду с уже извест- ными  $S$ -факторами новую характеристику состояния – С-фактор, меру коллективизации данного уровня.

Далее, в § II показано, что кинематические амплитуды  $\beta_n(\vartheta)$  можно вычислить в явном виде<sup>39/</sup>, если использовать приближение дифракционной модели ( $\ell \gg 1$ , сильное поглощение при  $\ell < \ell_0 \approx kR$ ). Это позволяет установить основные качественные черты зависимости углового распределения от числа промежуточных возбуждений, участвующих в реакции. Так, показано, что при некото- рых условиях дифференциальные сечения одно- и двухсту- пенчатого срыва ведут себя в противофазе.

В следующих параграфах рассмотрен ряд вопросов теории

многосту- пенчатого срыва, связанных со спецификой ее применения к легким, средним сферическим и деформированным ядрам. Так, для легких ядер использование оптического потенциала вызывает опре- деленные возражения. Поэтому в § I2 рассмотрение ведется в рамках дисперсионной теории прямых реакций<sup>40/</sup>. Амплитуда определяется как сумма полюсной и треугольной диаграмм с вершиной виртуаль- ного неупругого рассеяния на четном ядре, что соответствует двух- сту- пенчатому приближению. Используя основные приближенияperi- ферийной модели<sup>10/</sup>, удается получить ответ в явном виде<sup>40/</sup>. Да- но сравнение с экспериментом  $^{12}C(d, ^3He)^{11}B$  и определены соответст- вующие вершинные константы. В отличие от МИВ здесь не приходится изменять параметры модели при увеличении энергии падающих частиц в два раза.

В § I3 рассмотрены реакции срыва на сферических ядрах. По- казано, что в этом случае можно ограничиться двухсту- пенчатым при- ближением адиабатической теории возмущений<sup>41/</sup>. Это связано с относительно слабой вероятностью возбуждения фононного спектра в таких ядрах. Дано методическое сравнение с другими приближенными подходами. Сделано обобщение на случае включения  $\ell_3$ -сил в каналах реакции<sup>42/</sup> и показано, что известная проблема  $J$ -зави-симости сечений, которая раньше трактовалась в рамках односту- пенчатого механизма только как следствие появления  $\ell_3$ -сил, в той же мере может быть решена учетом примеси двухсту- пенчатого ме-ханизма в сечении передачи нуклона. Дано сравнение с экспериментом для реакции  $^{52}Cr(d, p)^{53}Cr$ , и в результате подгонки найдены  $S$ - и  $C$ -факторы. Оказалось интересным, что, например, для  $3/2^-$  состояния С-фактор составляет большую величину (0,83) по сравнению с мерой одночастичности состояния  $S$ -фактором (0,005).

Эффекты связи каналов в реакциях срыва на деформированных ядрах играют наибольшую роль. В § I4 в адиабатическом приближении получено общее выражение для сечения при точном учете связи каналов по всем состояниям основных вращательных полос начального A- и конечного B- ядер<sup>/36/</sup>. Проведен общий анализ этого выражения, и в частности, установлено место довольно популярной теории Йано-Остера<sup>/17/</sup>, где сечение срыва получено с учетом только первого порядка теории возмущений по  $U_{int}^{rot}$  ( - частный случай рассмотрения в § I0). Показано<sup>/43/</sup> (в том числе и численными расчетами<sup>/44/</sup>), что для деформированных ядер этому подходу трудно найти область применения, и именно потому что в таких ядрах всегда с относительно большой вероятностью возбуждается целый ряд уровней вращательной полосы. Применять же его для сферических ядер, где условия относительной малости возбуждения выполняются, в предложенном варианте теории невозможно, здесь следует использовать более простую и наглядную разработку адиабатической теории возмущений в § I0. Затем исследован вопрос о вкладе в реакцию наряду с вращательными и виртуальными переходами на уровнях невращательной природы<sup>/45/</sup>. Для этого был развит полуадиабатический подход, в котором уровни вращательной полосы ( $E_4^{rot} \ll E$ ) учитывались в адиабатическом приближении, а невращательные состояния - точно. Для этих последних спектроскопические амплитуды  $\delta_1$  и  $\delta_2$  рассчитывались в рамках полумикроскопической модели деформированных ядер<sup>/2/</sup>. Анализ на этой основе реакции  $^{154}Gd(d\mu) ^{155}Gd$  показал<sup>/46/</sup>, что учет этих дополнительных каналов на фоне мощных каналов вращательного возбуждения мало изменяет общую картину многоступенчатого срыва - поэтому их можно не учитывать в практических расчетах. В конце § I4 дан ряд численных расчетов в рамках точной схемы

для легких и тяжелых деформированных ядер<sup>/44/</sup>, которыми иллюстрируются возможности теории в объяснении соответствующих экспериментов. На основе параметров обобщенных оптических потенциалов, полученных из данных неупругого рассеяния в соответствующих каналах реакции, удается объяснить не только угловые распределения, но и абсолютные сечения разрешенных и запрещенных передач. Показано<sup>/47/</sup>, что многоступенчатые эффекты имеют тот же порядок величины, что и основной "прямой" переход. Они могут существенно изменять форму угловых распределений. В случае запрещенных передач основу сечения составляют именно многоступенчатые переходы.

В Заключении кратко перечислены основные результаты диссертации. Обзорные доклады по отдельным темам диссертации были сделаны на XX, XXI, XXII Всесоюзных совещаниях по ядерной спектроскопии, IV Международной конференции по физике высоких энергий и структуре ядра (Дубна, 1971), а также на ряде других конференций, на совещаниях, проблемных семинарах и школах. Основные результаты диссертации опубликованы в работах<sup>/19-25,28,31-37,39-47/</sup>.